

И. В. Стецула.

Расчет обмоток возбуждения для машин без выступающих полюсов.

Главную область применения обмоток возбуждения без выступающих полюсов в настоящее время являются генераторы турбинного типа, как постоянного, так и переменного тока. Кроме того такого рода обмотки, могут встретить широкое применение в малых машинах постоянного тока, так как это даст возможность заводам, и специализирующимся в построении машин небольших мощностей, нормировать и свести до минимума число типов некоторых частей, а именно: выкроек статорного железа, применяя их одинаковые образцы для асинхронных двигателей и машин постоянного тока.

Некоторые данные, а также и методы для расчета распределенных обмоток трехфазного тока встречаются у Arnol'da „Die asynchrone Wechselstrommaschinen“, Круга „Асинхронные безколлекторные двигатели и в немецкой журнальной литературе, наприм. статья Görgesa в ETZ 1907 s. 1 и Rasch'a там же 1912 s. 7.

Все вышеуказанные авторы трактуют вопрос не принимая во внимание влияния магнитного насыщения, которое должно искажать результаты теоретических выводов, такое пренебрежение к этому явлению объясняется тем, что в машинах переменного тока, какие исключительно рассматриваются в упомянутых трудах насыщение берется небольшим, при котором зависимость между магнитодвижущими силами и магнитной индукцией мало отклоняется от прямой пропорциональности.

При больших насыщениях, которые применяются в машинах постоянного тока, пренебрегать влиянием насыщения нельзя.

Предметом настоящей статьи является расчет обмоток возбуждения, принимая во внимание влияние насыщенности железа.

Предположим, что размеры якоря—его диаметр D и длина l , равно, как основные размеры зубцов, выяснены из соответствующих расчетов, так же как необходимый поток возбуждения Φ (черт. 1).

Расчет возбуждения должен дать основные размеры статорного железа, общее количество ампервитков и распределение их по отдельным впадинам статора.

Рассмотрим для простоты двухполюсную машину. Радиальный размер (высоту) статорного железа не затронутого зубцами можно найти в первом приближении, исходя из предположения равномерного распределения потока в сечении $x x$. Тогда

$$\frac{\Phi}{2} = b l B_s$$

откуда

$$b = \frac{\Phi}{2 l B_s}$$

где B_s — магнитная индукция в статоре.

Предположение о равномерном распределении потока возбуждения подтверждается следующими соображениями: элементарные потоки, входящие в статор ближе к вертикальной плоскости, проходящей через ось машины, обладают большей плотностью силовых линий, чем входящие дальше от этой же плоскости, и следовательно, распределение потока в статоре в области непосредственно примыкающей к катушкам будет неравномерно. По мере приближения к сечению $x x$, благодаря боковому давлению силовых линий друг на друга, распределение становится более или менее равномерным. Так как наряду с сечениями, в которых распределение потока равномерно, имеются сечения с неравномерным распределением силовых линий, средняя магнитная индукция статора B_s не должна быть выбираема особенно большой.

Для решения основного вопроса, о распределении силовых линий в междужелезном зазоре, необходимо, кроме упомянутых выше размеров, задать еще размерами зубцов статора, и числом ампервитков n_i заключающихся в катушке заложенной в пару соответствующих пазов (черт. 2).

Силовые линии возбуждаются катушками заложенными в обоих полюсах машины, поэтому ампервитки, соответствующие какому либо пучку силовых линий, равняются— $2 k n_i$, где K —число катушек охватываемых данным пучком силовых линий в одном полюсе.

Предположим сначала, что каждый полюс имеет лишь одну катушку заложенную в крайние пазы $A_1 A$, охватывающую весь поток возбуждения Φ (черт. 3).

Магнитная индукция в междужелезном зазоре, вызываемая катушкой $A_1 A_1$, определяется из уравнения

$$0,4\pi 2 n_i = 2B_1' \delta + \frac{B_r'}{\mu_r'} l_r' + \frac{B_s'}{\mu_s'} l_s' + 2 \frac{B_{z_1}'}{\mu_{z_1}} Z_1' + 2 \frac{B_{z_2}'}{\mu_{z_2}} Z_2' \quad (1)$$

где B_1' , B_s' , B_r' , B_{z_1}' , B_{z_2}' магнитные индукции в воздухе, железе статора, железе ротора, зубцах статора и зубцах ротора, μ_r' , μ_s' , μ_{z_1} , μ_{z_2} , l_r' , l_s' , Z_1' и Z_2' соответствующие магнитные проницаемости и средние длины силовых линий.

Управление (1) может быть представлено в иной более удобной для расчетов форме:

$$2ni=1,6 B_1' \cdot \delta + aw_s' \cdot l_s' + aw_r' \cdot l_r' + 2 \cdot aw_{z_1}' \cdot z_1 + 2aw_{z_2}' \cdot z_2 \dots (2)$$

$$B_1' = \frac{2ni - aw_s' \cdot l_s' - aw_r' \cdot l_r' - 2aw_{z_1}' \cdot Z_1 - 2aw_{z_2}' \cdot Z_2}{1,6 \delta} \dots (3)$$

Следующей парой катушек, заложенной в пазах $A_2 A_2$, возбуждается некоторый поток меньше предыдущего по двум причинам; меньшему поперечному сечению² и меньшим значениям индукции, так как силовым линиям приходится прокладывать себе путь по железу уже несколько намагниченному.

Величина магнитной индукции в зазоре, вызываемая исключительно второй парой катушек, выразится подобным же уравнением:

$$B_1'' = \frac{2ni - aw_s'' \cdot l_s'' - aw_r'' \cdot l_r'' - 2aw_{z_1}'' \cdot z_1 - 2aw_{z_2}'' \cdot z_2}{1,6 \delta} \dots (4)$$

Результирующий поток, охватываемый обеими парами катушек, очевидно равняется

$$B_1'' + B_1'';$$

Переходя далее к потокам, возбуждаемым 3-ей, 4-ой и дальнейшими парами катушек, будем получать выражения вполне аналогичные (3) и (4). Форма поля возбуждения представится в виде (чер. 4), а величина полного потока возбуждения будет равна $\Phi = B_1n \cdot 2tl + B_1n-1 \cdot 2tl + B_1n-2 + 2tn \dots + B_1 \cdot 2tl + B_1 \cdot 2tl \dots (5)$ где $B_1 = B_1'$; $B_1 = B_1' + B_1''$; $\dots B_1n = B_1' + B_1'' + B_1''' + \dots + B_1^{(n)}$, а t равно линейному (по окружности) шагу зубца статора.

При равномерно-распределенной обмотке (идеальный случай) форма поля из ступенчатообразной превратилась бы в кривую, а выражение (5) обратилось бы в определенный интеграл, решение которого дало бы необходимую для аналитического расчета связь между заданными и искомыми величинами.

Но аналитическая зависимость между величинами магнитной индукции и магнитной проницаемости с одной стороны, и ампервитками с другой стороны до сих пор не выяснена; так как предложенные эмпирические формулы (напр. Фрелика) столь сложны и запутаны (не отвечая при том вполне течению кривой намагничивания), что совершенно не допускают технических расчетов.

Точно также получающийся интеграл не может быть решен, благодаря чему приходится перейти к графическому методу расчета, для возможности которого нам придется сделать несколько допущений. Влияние допущений на окончательный результат будет указано ниже.

Во, первых предположим, что индукции в железе ротора, статора, в зубцах и междужелезном зазоре связаны между собой зависимостью:

$$B_1 = K_s \cdot B_s = K_r \cdot B_r = K_{z1} \cdot B_{z1} = K_{z2} \cdot B_{z2} \dots (6)$$

где K_s, K_r, K_{z1}, K_{z2} — коэффициенты пропорциональности

Иначе говоря, мы допускаем, что площади сечений потока в воздухе и в различных частях магнитопровода меняются пропорционально.

Площадь поперечного сечения потока в роторе (черт. 5) в зависимости от угла обхвата β выражается $2R \cdot \text{Sp } i\beta$, в то время, как сечение потока в воздухе равно $2R\beta$; отсюда коэффициент $K_r = \frac{B}{B_r} = \frac{F_r}{F}$ при малых углах близок к единице, а при максимальных возможных значениях $\beta = 90^\circ$ становится равным $\frac{2}{\pi}$.

Таким образом при углах обхвата не особенно больших ($\beta = 40^\circ - 50^\circ$), коэффициент K_r меняется незначительно, и следовательно предположение о пропорциональности поперечных сечений потока в воздухе и железе ротора не особенно грешит против истины.

Предположение указанной пропорциональности в железе статора равносильно предположению, что силовые линии въ статоре располагаются пучками, не меняющимися поперечных сечений по всей своей длине.

Сечения потока в зубцах ротора и статора вполне пропорциональны соответствующим сечениям в воздухе, что очевидно из черт. 5.

Во вторых допустим

$$l_s' = l_s'' = l_s''' = \dots = l_s^{(n)}; \text{ и } l_r' = l_r'' = l_r''' = \dots = l_r^{(n)};$$

т. е. иначе: средние длины силовых линий в соответствующих частях машины не меняются от угла обхвата катушки возбуждения.

Длина средней силовой линии в роторе равна $2R \cdot \text{Cos } \frac{\beta}{2}$, и при изменениях β от 0° до 90° (предельный практически невыполнимый случай) колеблется в пределах от $2R$ до $1,414R$. Меньшие колебания угла обхвата дают и гораздо меньшие колебания средней длины силовых линий в роторе например при колебаниях от 0° до 45° — l_r меняется от $2R$ до $1,35R$, вследствие чего величина l_r может считаться неизменной.

Средняя длина силовых линий в статоре гораздо более зависит от угла β , но численные примеры, один из которых приведен ниже, указывают на малое влияние изменений величины l_s на окончательный результат.

Длины силовых линий в зубцах ротора и статора, равные высоте зубцов, очевидно не меняются совершенно при всяких колебаниях угла β .

После таких допущений можно перейти к графическому расчету.

Задавшись центральным углом β_0 (который после может быть изменен в зависимости от результатов расчета) и найдя высоту статорного железа b , можно будет найти коэффициенты $K_r, K_s, K_{z_1}, K_{z_2}$ из следующего соотношения:

$$2R\beta_0 \cdot B_1 = 2R_s \sin \beta_0 \cdot B_r = 2b \cdot B_s = 2R_1 \beta_0 B_{z_1} = 2R_2 \beta_0 B_{z_2} \dots (7)$$

Разделяя все члены выражения на $2R\beta_0$, получаем:

$$B_1 = \frac{\sin \beta_0}{\beta_0} \cdot B_r = \frac{b}{R\beta_0} \cdot B_s = \frac{R_1}{R} \cdot B_{z_1} = \frac{R_2}{R} \cdot B_{z_2} = \dots (8)$$

откуда

$$\frac{\sin \beta_0}{\beta_0} = K_r; \quad \frac{b}{R\beta_0} = K_s; \quad \frac{R_1}{R} = K_{z_1}; \quad \frac{R_2}{R} = K_{z_2}; \dots (8')$$

Пусть черт. 6а и 6в представляют кривые намагничивания для выбранных сортов железа статора и ротора, а также их зубцов.

Задавшись каким либо масштабом для B_1 перестроим указанные кривые, путем изменения масштабов ординат, таким образом чтобы величины $B_r, B_s, B_{z_1}, B_{z_2}$ связанные зависимостью (8) представлялись одинаковыми по величине ординатами (черт. 7).

На том же чертеже влево от вертикальной прямой проведем наклонную под углом α к горизонту, (при чем $\operatorname{tg} \alpha = \frac{B_1}{AW_1} = \frac{1}{1,6\delta}$)

представляющую связь между магнитной индукцией в зазоре и необходимыми для возбуждения ее ампервитками.

Умножая числа, стоящие у абсцисс кривых намагничивания на средние длины силовых линий, в соответствующих участках магнитной цепи, получим величины ампервитков приходящиеся не на погонный сантиметр пути силовых линий, а на полную длину данного участка, то есть $AW_s = a_w s \cdot l_s, AW_r = a_w r \cdot l_r, AW_{z_1} = a_w z_1 \cdot Z_1, AW_{z_2} = a_w z_2 \cdot Z_2$.

Абсциссы наклонной прямой, непосредственно, по условиям построения, представляют ампервитки необходимые для возбуждения заданного потока через два зазора толщиной δ . Под величинами Z_1 и Z_2 подразумеваются также по две высоты зубцов.

Далее перестроим вновь все кривые с таким расчетом, чтобы масштабы их абсцисс были одинаковыми и равнялись масштабу абсцисс принятому для наклонной прямой.

Наконец вычертим суммарную кривую для ампервитков (черт. 8) получение которой достаточно ясно из чертежа. Ординаты представляют магнитную индукцию в зазоре, а абсциссы равны сумме

4^x соответствующих абсцисс из предыдущих кривых, приведенных к одному и тому же масштабу. Из начала координат проведена прямая под углом α .

Очевидно расстояние АВ по горизонталям, отсекающей на оси ординат отрезок ВI, равно

$$AW_s + AW_r + AW_{z_1} + AW_{z_2} + 1,6BI\delta = AW_t \dots (9)$$

полному количеству ампервитков необходимому для возбуждения магнитной индукции ВI в зазоре и соответствующих индукций в остальных частях магнитного провода.

Задаваясь определенной индукцией в зазоре, тотчас же найдем необходимое количество ампервитков.

Для решения нашей задачи расчета обмотка возбуждения состоящей из нескольких катушек, заложенных в ряд впадин и для определения формы кривой магнитного поля поступим несколько иначе.

Зная площадь поперечного сечения впадины G (так как формой ее мы задаемся с самого начала; коэффициент ее заполнения h определяемый из условий изоляции обмотки и плотность тока S известную по данным практики получаем „объем тока в одной впадине, а следовательно и число ампервитков доставляемое одной катушкой, которое равняется $F h S$.

Для пары катушек соответственно паре полюсов получится

$$2ni = 2 F h s \dots (10)$$

По оси абсцисс вправо от начала координат О (черт. 9) откладываем в соответствующем масштабе величины $2ni$, $4ni$, $6ni$, $8ni$ и т. д., из этих точек a , b , c , $d \dots$ проводим прямые параллельные наклонной ОА, пересекающие „суммарную“ кривую в точках a_1 ; b_1 ; c_1 ; \dots

Отрезки горизонтальных линий, проведенных из точек a , b , c , заключенные между наклонной прямой и „суммарной“ кривой, очевидно, равны величинам $2ni$; $4ni$; $6ni$; \dots ; а длины отсекаемые ими на оси ординат представляют собой величины магнитных индукций, получающихся в зазоре вследствие действия одной, двух, трех и т. д. пар катушек.

Таким образом, это построение дает размеры BI_1 , BI_2 , $BI_3 \dots$ необходимые для определения ступенчатообразной кривой (черт. 4) магнитного поля.

Вычерчивание кривой поля следует продолжать до тех пор, пока площадь ее не будет равна заданному потоку Φ .

Получив эту кривую, следует проверить насколько она соответствует предположенному заранее углу обхвата δ , и не выйдут ли максимальные индукции в железе статора за допустимые пределы.

В случае сильного расхождения получившегося угла β , с первоначально заданным, необходимо вновь пересчитать коэффициенты

$K_s, K_r, K_{z_1}, K_{z_2}$ и наново проделать весь расчет, точно также его следует повторить при слишком больших максимальных значениях индукции в железе статора. Нахождение максимального значения индукции в статоре не представит затруднений, так как по выражению (6) между индукциями в железе статора и в воздухе существует простая связь

$$Bl = K_s \cdot Bs; \text{ откуда}$$

$$Bs_{\max} = \frac{1}{K_s} Bl_{\max}.$$

Теперь остается выяснить насколько наши предположения и допущения грешат против истины и не искажают ли они результатов настолько, что весь расчет становится неверным. Размеры колебаний коэффициентов K_r и K_s мы уже рассмотрели и нам остается исследовать влияние допущения, что,

$$l'_s = l''_s = l'''_s = \dots = l_s^{(h)} \text{ и}$$

$$l'_r = l''_r = l'''_r = \dots = l_r^{(h)}$$

Для этого рассмотрим численный пример, пусть радиус ротора $R_r = 8$ см., высота зубцов статора и ротора $Z_s = Z_r = 1$ см. высота тела статора $E = 8$ см. толщина зазора 2 мм.

Принимая наиболее неблагоприятный случай для нас, а именно, что катушки возбуждения будут захватывать по пол окружности, т. е. угол обхвата будет меняться от 0° до 90° получим для длин средних силовых линий следующие величины

$$l_{s \max} = 43,8 \text{ см.}; l_{s \min} = 23,9 \text{ см.};$$

$$\text{и } l_{r \max} = 14,0 \text{ см.}; l_{r \min} = 9,9 \text{ см.},$$

Индукции и соответствующие им ампервитки на единицу длины силовых линий:

$$B_r = 10200 \quad AW_r = 3,8$$

$$B_s = 8000 \quad AW_s = 2,0$$

$$B_{z_1} = B_{z_2} = 19000 \quad AW_z = 180,0$$

Вычислим теперь полное количество ампервиток необходимых для получения вышеуказанных индукций в воздухе и железных частях машины; при длинном пути:

$$AW_{\max} = 43,8 \cdot 2 + 14 \cdot 3,8 + 4 \cdot 180 + 1,6 \cdot 0,2 \cdot 7000 =$$

$$87,6 + 53,2 + 720,0 + 2240 = \underline{3100,8}$$

и при коротком пути:

$$\begin{aligned} AW_{\text{мм.}} &= 23,9 \cdot 2 + 9,9 \cdot 3,8 + 4 \cdot 180 + 1,6 \cdot 0,2 \cdot 7000 = \\ &= 47,8 + 37,25 + 720 + 2240 = 3045,0 \end{aligned}$$

Таким образом ошибка крайних значений величины ампервитков по отношению к среднему, равная

$$\frac{(AW_{\text{max}} - AW_{\text{мм.}}) 2}{AW_{\text{max}} + AW_{\text{мм.}}}$$

достигает в вышеуказанном примере:

$$\frac{(3100,8 - 3045,0) 2}{3100,8 + 3045,0} = \frac{111,6}{6145,8} = 0,018$$

или в процентах $1,8\%$, что в технических расчетах является вполне допустимым.

В действительности же полное количество ампервитков заложенных в различные пазы берется одинаковым; поэтому магнитные индукции для расположения соответствующего более длинным путям силовых линий будут несколько меньше вычисленных, и на оборот индукции соответствующие расположению с короткими линиями получаются большими нежели предвычисленные.

На чертеже 10 изображены: сплошными линиями вычисленная форма магнитного поля, пунктирными—действительная.

При достаточно больших насыщениях увеличение числа ампервитков мало влияет на возрастание магнитной индукции.

Высота уступов ступенчатообразной «кривой» уменьшается от крайних уступов, к средним, при больших индукциях высоты средних уступов делается весьма незначительными.

Кроме того, катушкам занимаемым более центральное положение (т. е. охватывающим меньшее число шагов t) соответствуют и меньшие основания прямоугольников.

Оба эти обстоятельства приводят к мысли уничтожения средних катушек, и в возмещение недостающих силовых линий, уширения оставшихся.

На чертеже 11 изображены два варианта: сплошными линиями вычерчен вариант I, с полным количеством катушек (назовем его „основным“), пунктиром вариант II с уничтоженными 3-мя средними катушками и уширенными на 2 шага крайними.

Выбрасывая средние катушки теряются две площади А, при расширении же оставшихся приобретаются две площади В. Для получения одинаковых потоков при обоих вариантах необходимо, чтобы площадь А = площади В.

Переход от I-го к II-му варианту может доставить большую экономию в меди; уширение оставшихся катушек вызывает небольшое увеличение количества меди по сравнению с количеством необходимым для создания средних катушек.

Очевидно, продолжая этот процесс выбрасывания средних и уширения оставшихся катушек, можно прийти к наименьшему расходу меди необходимому для получения заданного потока Φ .

Решим этот вопрос о *минимуме меди* в распределенных обмотках возбуждения.

При 1-м «основном» расположении обмотки, поток выражается формулой (6).

$$\Phi = B_{l_n} \cdot 2tl + B_{l_{n-1}} \cdot 2tl + B_{l_{n-2}} \cdot 2tl + \dots + B_{l_2} \cdot 2tl + B_{l_1} \cdot 2tl = 2tl \cdot \sum_{k=1}^{k=h} B_{l_k}$$

откуда

$$\sum_{k=1}^{k=h} B_{l_k} = \frac{\Phi}{2tl} \dots \dots \dots (11)$$

В правой части выражения (11) находятся известные наперед заданные величины, следовательно сумма B_{l_k} может быть определена без затруднений. С другой стороны графический метод расчета (черт. 9) дает величины отдельных компонентов B_{l_k} .

Выписывая их, а также соответствующие им суммы в таблицу (табл. I) легко найдем количество катушек необходимых для получения заданного потока по „основной“ схеме.

Т а б л и ц а 1.

B_{l_k}	B_{l_1}	B_{l_2}	B_{l_3}	...	B_{l_h}
$\sum_{k=1}^{k=h} B_{l_k}$	B_{l_1}	$B_{l_1} + B_{l_2}$	$B_{l_1} + B_{l_2} + B_{l_3}$...	$\sum_{k=h}^{k=b} B_{l_k}$

Построение таблицы следует продолжать до тех пор, пока величина B_{l_k} , во второй строке, не достигнет или несколько не превысит величины полученной из формулы (11).

Пусть для этого потребовалось найти n значений B_{l_1} , т. е. для осуществления заданного потока Φ по первой „основной“ схеме необходимо n катушек охватывающих 2_n шагов:

Назовем через m —число уничтоженных катушек и через 2_k — число шагов, на которое уширяются остающиеся катушки (черт. 11).

Выражение потока представляется тогда для I-го варианта:

$$\Phi = 2tl (B_1 + B_2 + B_3 + \dots + B_n) \dots \dots (12)$$

и для II го варианта:

$$\Phi = 2tl [B_1 + B_2 + B_3 + \dots + B_{n-m+1} + (m+k+1) B_{n-m}] \dots (13).$$

Так как величина потока Φ должна остаться неизменной вне зависимости от расположения обмотки, то выражения (12 и 13) должны равняться друг другу, и следовательно

$$B_1 + B_2 + B_3 \dots + B_n = B_1 + B_2 + B_3 \dots + B_{n-m+1} + (m+k+1) B_{n-m} \dots \dots \dots (14)$$

После вычитания из обеих частей равенства суммы

$$B_1 + B_2 + B_3 + \dots + B_{n-m}$$

получим

$$B_{n-(m-1)} + B_{n-(m-2)} + B_{n-(m-3)} + \dots + B_n = (m+k) B_{n-m} \dots (15)$$

или иначе

$$\sum_{n-(m-1)}^n B = (m+k) B_{n-m} \dots \dots \dots (15a)$$

откуда

$$(m+k) = \frac{\sum_{n-(m-1)}^n B}{B_{n-m}} \dots \dots \dots (16)$$

и

$$k = \frac{\sum_{n-(m-1)}^n B}{B_{n-m}} - m \dots \dots \dots (17)$$

Задаваясь любым количеством уничтожаемых средних катушек m , легко найдем необходимое число шагов k , на которое надлежит уширить оставшуюся часть обмотки, по формуле (17).

Нахождение величины $\sum_{n-(m-1)}^n B_{n-m}$ и B_{n-m} не может представлять затруднений раз найден ряд значений для B согласно таблицы I; нахождение их удобнее всего сопоставить в виде таблицы II-й.

Для краткости обозначим $\sum_{n-(m-1)}^n B$ через A .

Т а б л и ц а II.

n	m	B_{n-m}	A	$\frac{A}{B_{n-m}}$	K

Теперь можно перейти к отысканию минимума меди затрачиваемой на обмотку возбуждения.

Количество меди необходимой для осуществления обмотки по первому варианту выразится так:

$$Q_1 = \gamma \cdot q [(2l + 4t) + (2l + 8t) + (2l + 12t) + \dots + (2l + 4nt)] = \gamma q [2nl + 4t(1 + 2 + 3 + \dots + n)] = \gamma q \left[2nl + 4t \cdot \frac{n(1+n)}{2} \right] = 2\gamma q n [l + t(1+n)] \quad (18)$$

где γ —удельный вес меди, q —общее поперечное сечение проводов заложённых в один паз и l —активная длина проводов (длина машины).

Количество меди затрачиваемое для получения обмотки по второму варианту с уничтоженными средними катушками (черт. 12) представится в виде:

$$Q_2 = \gamma \cdot q \{ [2l + 4t(m+k+1)] + [2l + 4t(m+k+2)] + \dots + [2l + 4t(n+k)] \} = \gamma q \{ 2l(n-m) + 4t[(m+k+1) + (m+k+2) + (m+k+4) + \dots + (n+k)] \} \\ = 2\gamma q \left\{ l(n-m) + 2t \frac{(m+k+1+n+k)(n-m)}{2} \right\} = 2\gamma q (n-m) [l + t(n+m+2k+1)] \dots (19)$$

Для нахождения минимума меди, затрачиваемого для осуществления возбуждения по второй схеме, необходимо величину Q_2 продифференцировать по величине m , полученную первую производную приравнять нулю и из получившегося выражения найти число катушек, которое должно быть уничтожено для получения наиболее выгоднейшего расположения обмотки; выражение (17) при подстановке в него найденного m даст величину уширения оставшихся катушек k .

При дифференцировании, следует помнить, что k есть функция m .

Дифференцируя и приравнявая 0, получим

$$\frac{dQ_2}{dm} = 2\gamma q \left\{ (n-m) \left(t + 2t \frac{dk}{dm} \right) - [l + (m+n+2k+1)t] \right\} = 0. \quad (20)$$

Откуда, после раскрытия скобок и некоторых сокращений получится.

$$2nt \frac{dk}{dm} - 2mt - 2mt \frac{dk}{dm} - l - 2kt - t = 0 \dots (21).$$

Решить это уравнение аналитически относительно m невозможно, так как величины k и $\frac{dk}{dm}$, входящие в него, сами суть функции от m , при том зависимость между которыми в аналитической форме не известна, ибо в выражении (17) кроме них входят величины ΣB и $B_n - m$ определяемые лишь по чертежу при помощи „суммарной“ кривой.

Перенесем в правую часть члены не содержащие k и $\frac{dk}{dm}$, оставив остальные в левой:

$$2t[(n - m) \frac{dk}{dm} - k] = 1 + (2m + 1)t \dots (22)$$

В графическом изображении левая часть этого выражения представится некоторой кривой, а правая часть прямой; следовательно, искомое решение найдется, как абсцисса точки пересечения кривой с прямой.

Для удобства вычислений и построения представим выражение (22) несколько иначе:

$$(n - m) \frac{dk}{dm} - k = \frac{1}{2t} [1 + (2m + 1)t] \dots (23)$$

Правая часть $f_1(m) = (n - m) \frac{dk}{dm} - k$ построится по точкам, откладывая по оси абсцисс значения m , а по оси ординат вычисленные значения функции $f_1(m)$. Для возможности такого построения необходимо будет знать численные значения производной $\frac{dk}{dm}$, для каждого значения m .

Эти значения могут быть найдены приближенно из имеющейся таблицы II, где для каждого значения m , имеется соответствующее значение для k .

Переходя от производной к отношению конечных разностей и замечая, что m может принимать лишь целые значения получим окончательно.

$$\frac{dk}{dm} \approx \frac{\Delta k}{\Delta m} = \frac{k_{n+1} - k_n}{1} = k_{n+1} - k_n \dots (24)$$

Вычисление значений функции, $f_1(m)$ удобнее всего вести в виде таблицы II, которая явится попросту продолжением имеющейся уже таблицы II. (к таблице II остается прибавить добавочные графы Σ для: $\frac{\Delta k}{\Delta m}$; $n - m$; $(n - m) \frac{\Delta k}{\Delta m}$ и $f_1(m)$).

Т а б л и ц а II.

k	$\frac{\Delta k}{\Delta m}$	$n - m$	$(n - m) \frac{\Delta k}{\Delta m}$	$f_1(m)$

Построение прямой $f_2(m) = \frac{1}{2t} [1 + (2m + 1)t] = \frac{1}{2t} +$

$$+ m + \frac{1}{2} = \frac{1}{2} \left(\frac{1}{t} + 1 \right) + m \dots \dots \dots (25)$$

не представить затруднений (прямая отсекающая на оси ординат отрезок $\frac{1}{2} \left(\frac{1}{t} + 1 \right)$ и составляющая 45° с осью абсцисс.

Из проделанных примеров выяснилась форма кривой (черт. 13).

Обе ветви кривой очень близко подходят друг к другу в месте пересечения с прямой, так что получающиеся два значения для m разнятся между собою незначительно (обычно на дробную часть m .)

Продифференцируем выражение (20) вторично с целью убедиться, что найденные значения m соответствуют минимуму функции.

$$\frac{d^2 Q_2}{dm^2} = 2\gamma q \left\{ (n-m) 2t \frac{d^2 k}{dm^2} - \left(t + 2t \frac{dk}{dm} \right) - \right. \\ \left. - \left(t + 2t \frac{dk}{dm} \right) \right\} = 4\gamma q t \left\{ (n-m) \frac{d^2 k}{dm^2} - \left(1 + \frac{dk}{dm} \right) \right\} (26)$$

Подстановка в выражение (26) найденных численных значений для m ,

$$\frac{\Delta k}{\Delta m}, \text{ и } \frac{\Delta^2 k}{\Delta m^2}$$

дает

$$\frac{d^2 Q_2}{dm^2} > 0$$

(для обоих значений m), т.е. решение соответствует минимуму в обоих случаях.

Это обстоятельство, в связи с тем, что оба найденные m мало отличаются друг от друга, дает основание предполагать, что в действительности имеется *лишь один минимум*; но вследствие некоторых допущений, вносящих погрешности (подстановка конечных разностей вместо дифференциалов) кривая (черт. 13) искажена и прямая вместо того, чтобы коснуться кривой в вершине кривой (черт. 13) пересекает ее несколько ниже, почему и получаются два значения для минимума.

Так как в месте пересечения ветви кривой поднимаются очень круто, и касательные почти вертикальны, то источник графических ошибок при нахождении пересечения здесь невелик.

Для пояснения хода расчета рассмотрим численный пример.

ПРИМЕР. Двухполюсная машина, диаметр якоря $D = 32$ ст., длина 18 ст., мощностью 20 KW при напряжении 500 вольт и 2000 оборотах в минуту.

Линейная плоскость тока $AS = 500$.

Полный поток $\Phi = 3,5 \cdot 10^6$.

Задавшись остальными размерами: $Z = 3$ ст., и

$$b = \frac{\Phi}{2.8000.18} = 12 \text{ ст.}$$

можно найти коэффициенты K_s ; K_r ; K_{z_1} ; K_{z_2} из выражения (6) и (8).

$$K_s = \frac{24}{48} = 0,5; K_r = \frac{26}{48} = 0,54; K_{z_1} = \frac{20,4}{48} = 0,43; K_{z_2} = 0,33$$

На черт. 14 нанесены кривые намагничивания для железа ротора, статора и соответствующих зубцов.

Справа диаграммы нанесены масштабы индукций для соответствующих кривых, при чем между масштабами сохранена зависимость (6).

$$B_1 = K_s \cdot B_s = K_r \cdot B_r = K_{z_1} \cdot B_{z_1} = K_{z_2} \cdot B_{z_2} \dots (6)$$

$$1000 = 0,5 \cdot 2000 = 0,54 \cdot 1850 = 0,43 \cdot 2250 = 0,33 \cdot 3000$$

для продолжения кривых 3, и 4 нанесен внизу второй масштаб ампервитков, в котором кривые представляются в виде 3' и 4'.

Сверху нанесены три масштаба, где соответствующие величины ампервитков умножены на длины путей силовых линий в железе статора $l_s = 75$ ст., железо ротора $l_r = 28$ ст., и в зубцах $z = 3$ ст.

По вышеизложенному способу из кривых (черт. 14) строим „суммарную“ кривую (черт. 15) Слева от оси ординат строим наклонную прямую, наклон которой находится из выражения:

$$\operatorname{tg} \alpha = \frac{1}{1,6\delta} = \frac{1}{1,6 \cdot 0,2} = \frac{1}{0,32} = 3,1$$

Теперь можно приступить к нахождению ряда значений B_1 Предположив, что шаг равен одному ст. (такой шаг технически невыполнимый взят с целью возможно подробнее и точнее определить форму кривой поля) по способу ясно указанному на черт. (15 и 9), находим значения $B_1, B_2, B_3 \dots$ Полученные величины выписываем в таблицу I, причем нахождение значений ведем до тех пор, пока ΣB_1 не будет равно, или не превысит значения

$$\frac{\Phi}{2tl} = \frac{3,5 \cdot 10^6}{2 \cdot 1 \cdot 18} = 97000$$

Т а б л и ц а 1 - я .

n	1	2	3	4	5	6	7	8
B_1	2600	4800	6000	6700	7200	7500	7750	8000
ΣB_1	2600	7400	13400	20100	27300	34800	42550	50550

n	9	10	11	12	13	14	15
B_1	8200	8370	8500	8700	8870	9000	9100
ΣB_i	58750	67120	75620	84320	93190	102190	111290

102190 > 97000 поэтому 14 катушек вполне достаточно для возбуждения необходимого потока.

Форма кривой поля возбуждения в масштабе представлена на черт. 15 (сплошными линиями).

Для нахождения расположения обмотки с минимальным расходом меди, составим сначала таблицу II, с ее продолжением II¹.

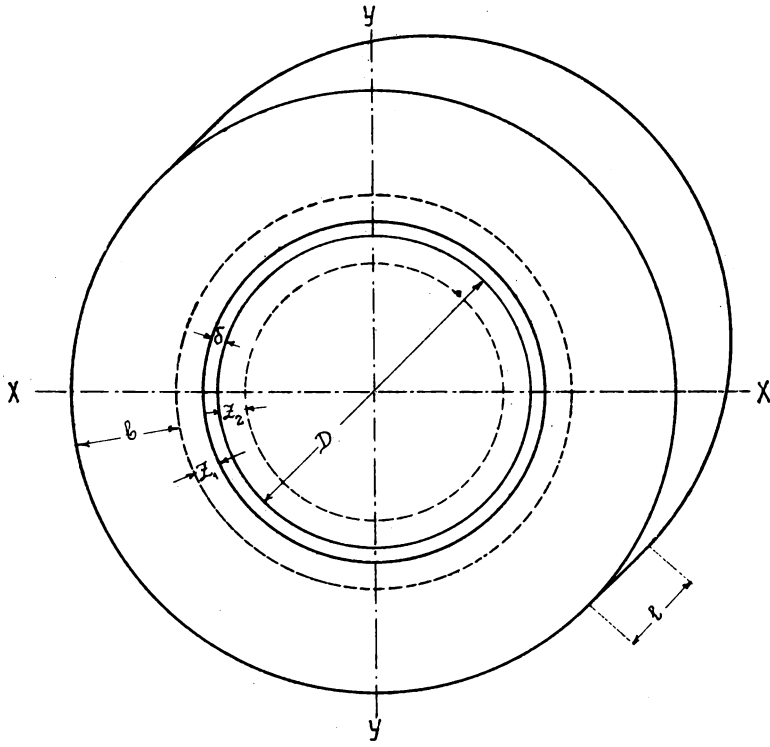
Т а б л и ц а II+II¹.

№ №	m	B_{n-m}	A	$\frac{A}{B_{n-m}}$	K	$\frac{\Delta k}{\Delta m}$	n-m	(n-m) $\frac{\Delta k}{\Delta m}$	$f_1 - m$
1	13	2600	99590	38,3	25,3	—	1		
2	12	4800	94790	24,9	12,9	12,4	2	24,8	11,9
3	11	6000	88790	14,8	3,8	9,1	3	27,3	23,5
4	10	6700	82190	12,3	2,3	1,5	4	6,0	3,7
5	9	7200	74990	10,40	1,40	0,90	5	4,5	3,1
6	8	7500	67490	9,00	1,00	0,40	6	2,4	1,4
7	7	7750	59740	7,70	0,70	0,30	7	2,1	1,4
8	6	8000	51740	6,45	0,45	0,25	8	2,0	1,55
9	5	8200	43540	5,29	0,29	0,16	9	1,44	1,15
10	4	8370	35170	4,18	0,18	0,11	10	1,10	0,92
11	3	8500	26670	3,12	0,12	0,06	11	0,66	0,60
12	2	8700	17970	2,07	0,07	0,05	12	0,60	0,55
13	1	8870	9100	1,015	0,015	0,055	13	0,715	0,655
14	0	9000							

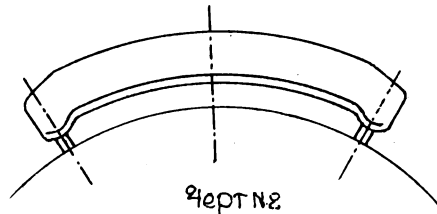
Числа последнего столбца таблицы дают возможность выстроить кривую $f_1(m)$.

Прямая $f_2(m) = \frac{1}{2t} [1 + (2m + 1)t]$, уравнение которой при подстановке численных значений обращается в

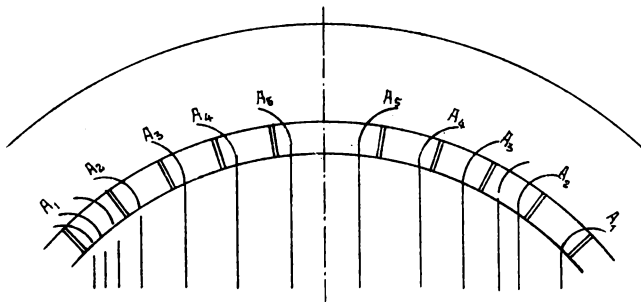
$$f_2(m) = \frac{1}{2} [18 + (2m + 1)1] = m + 9,5$$



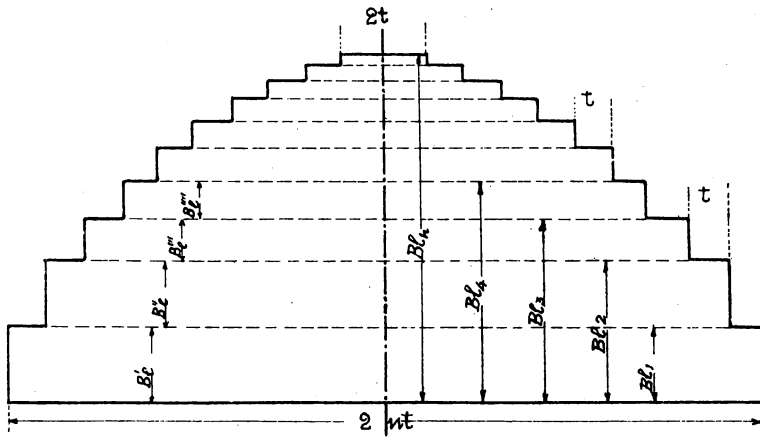
Черт. N1.



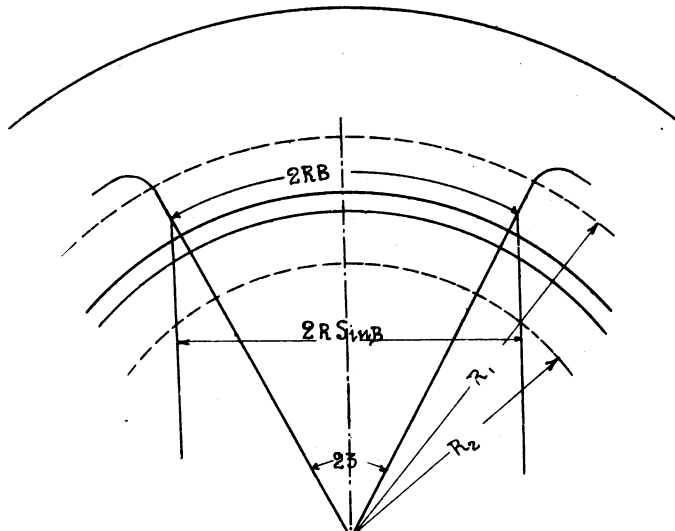
Черт. N2.



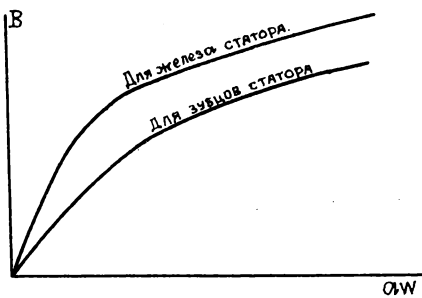
Черт. N3.



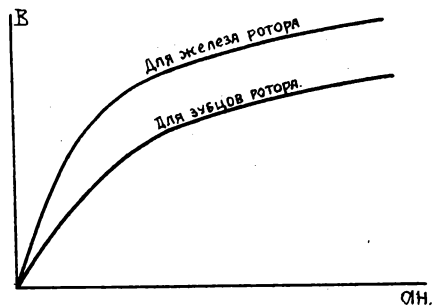
Черт. N4



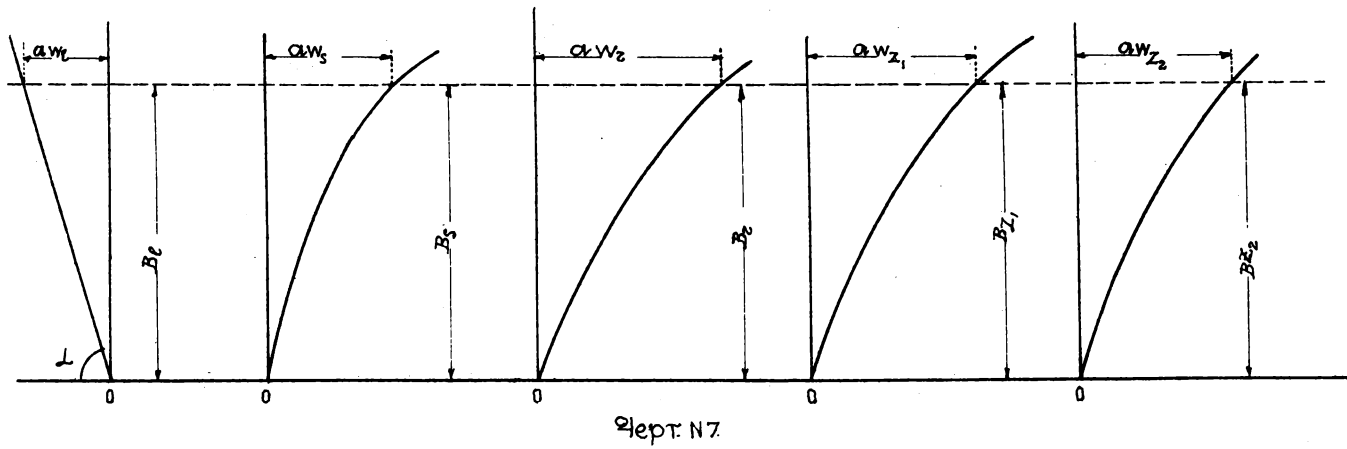
Черт. N5



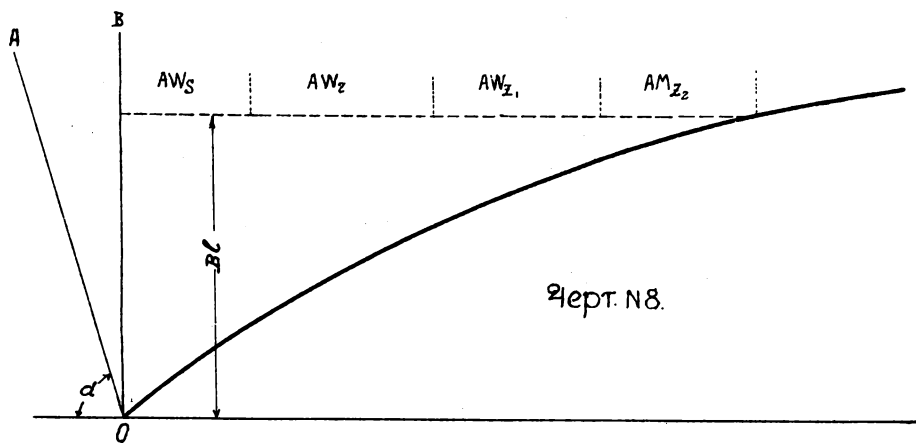
Черт. N6a



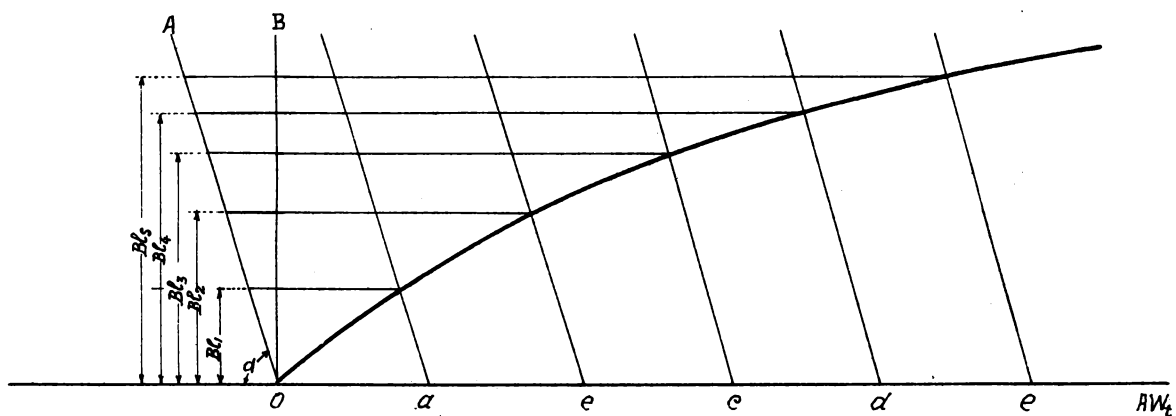
Черт. N6a



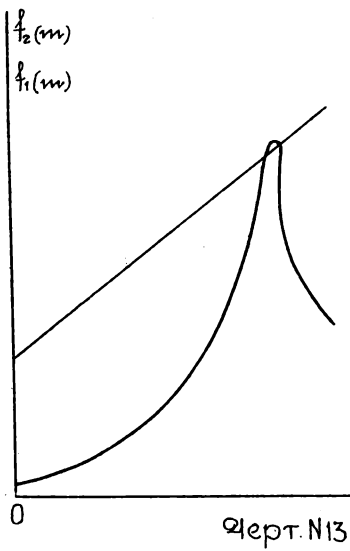
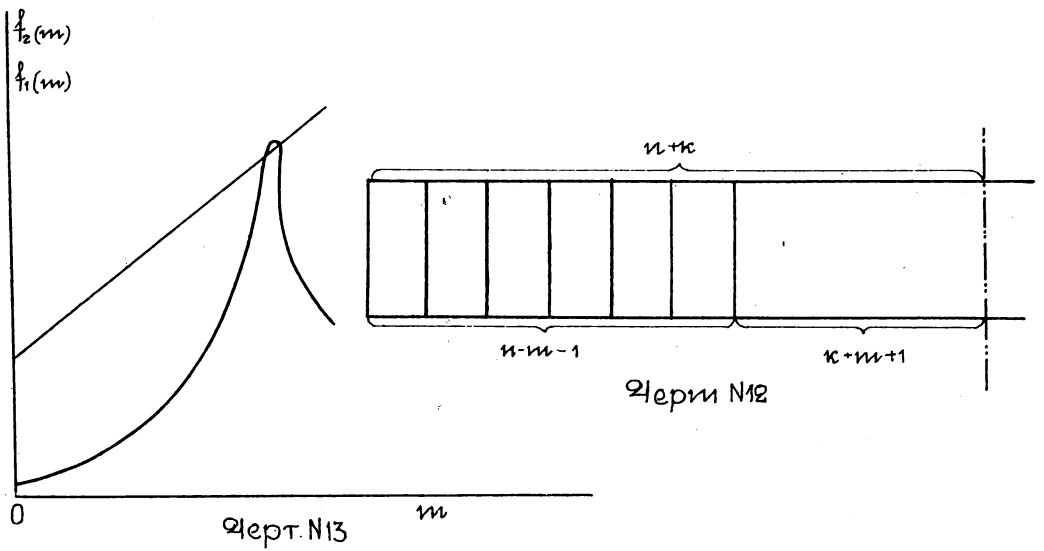
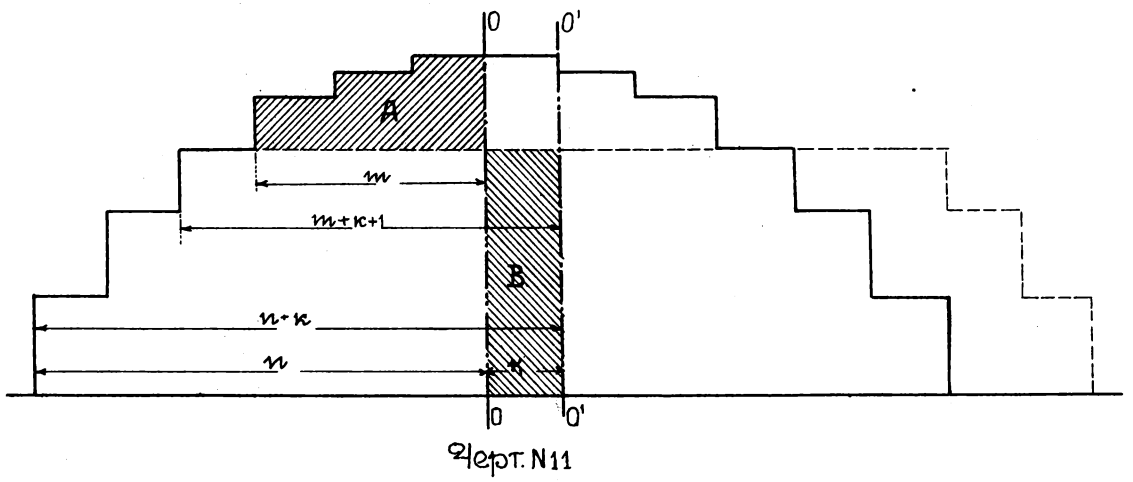
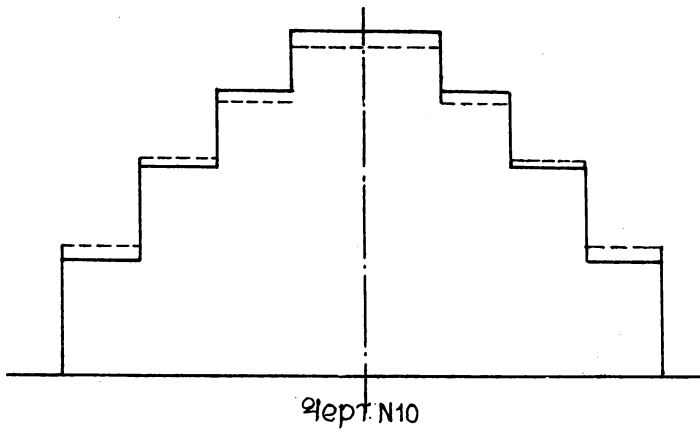
Черт. N7.



Черт. N8.



Черт. N9.



Черт. № 16

